

Духин О. А.<sup>1,2</sup>, Калинская А. И.<sup>1,2</sup>, Русакович Г. И.<sup>1</sup>, Анисимова А. С.<sup>1</sup>, Нетылько Ю. Э.<sup>1</sup>, Поляков П. А.<sup>1</sup>, Васильева Е. Ю.<sup>1,2</sup>, Шпектор А. В.<sup>1</sup>

 $^1$  ФГБОУ ВО «Московский государственный медико-стоматологический университет им. А. И. Евдокимова» Минздрава России, Москва, Россия

# Состояние тромбоцитарного и плазменного гемостаза как предиктор состояния коронарного кровотока у пациентов с острым инфарктом миокарда

Цель Изучение связи между функциональным состоянием тромбоцитов и плазменным гемостазом

с кровотоком в инфаркт-связанной артерии (ИСА), а также течением заболевания у пациентов

с острым инфарктом миокарда (ОИМ).

Материал и методы В исследование включены 93 пациента с ОИМ (75 пациентов с ОИМ с подъемом сегмента ST,

18 – без подъема сегмента ST). У 63 пациентов отмечался кровоток ТІМІ 0–1 по ИСА, у 30–ТІМІ 2–3. Всем пациентам проводились ротационная тромбоэластометрия, импедансная агрегометрия, тест эндотелий-зависимой вазодилатации (ЭЗВД), исследование тромбодинамики. Первичная клиническая конечная точка включала совокупность госпитальных осложнений ОИМ, вторичная конечная точка – совокупность отдаленных внегоспитальных осложнений ОИМ. Отдельно

проводилась оценка крупных (BARC 3-5) и малых (BARC 1-2) кровотечений.

Результаты Пациенты с кровотоком TIMI 0-1 по ИСА характеризовались более коротким началом времени

свертывания крови, большим размером тромба и его плотностью, более интенсивной агрегацией тромбоцитов, индуцированной арахидоновой кислотой и АДФ, меньшими значениями теста 93ВД. Оказалось, что параметры агрегации тромбоцитов, индуцированной арахидоновой кислотой (AUC Asa), в сочетании со временем начала свертывания крови (clotting time – CT) позволяют судить о степени нарушения кровотока в ИСА (чувствительность 76%, специфичность 71%) у пациентов с ОИМ, независимо от наличия подъема сегмента ST на ЭКГ. Кроме того, частота наступления первичной конечной точки была выше у пациентов с кровотоком ТІМІ 0–1 по ИСА (41,3 и 16,7% соответственно; p=0,015). У пациентов с кровотоком ТІМІ 2–3 в отдаленном периоде заболевания

значимо чаще регистрировались малые кровотечения (8,5 и 30,4% соответственно; p=0,045).

Заключение По сравнению с пациентами с сохранным кровотоком, пациенты с ОИМ и кровотоком TIMI 0-1

по ИСА характеризуются снижением функционального состояния эндотелия, более интенсивными процессами тромбообразования и агрегации тромбоцитов. Впервые показано, что сочетанное использование двух простых критериев оценки гемостаза (AUC Asa; CT) позволяет судить о сте-

пени нарушения кровотока в ИСА у больных с ОИМ.

Ключевые слова Инфаркт миокарда; гемостаз

Для цитирования Dukhin O.A., Kalinskaya A.I., Rusakovich G.I., Anisimova A.S., Netylko J.E., Polyakov P.A. et al. The state

of platelet and plasma hemostasis as a predictor of coronary blood flow in patients with acute myocardial infarction. Kardiologiia. 2022;62(7):31–37. [Russian: Духин О.А., Калинская А.И., Русакович Г.И., Анисимова А.С., Нетылько Ю.Э., Поляков П.А. и др. Состояние тромбоцитарного и плазменного гемостаза как предиктор состояния коронарного кровотока у пациентов с острым инфарктом мио-

карда. Кардиология. 2022;62(7):31-37]

Автор для переписки Духин Олег Арменович. E-mail: Dukhin.o@yandex.ru

Несмотря на внедрение первичного чрескожного коронарного вмешательства (ЧКВ) в повседневную клиническую практику, широкий спектр фармакологических препаратов, достоверно влияющих на течение заболевания и долгосрочный прогноз, госпитальная летальность у пациентов с острым инфарктом миокарда (ОИМ) остается в пределах 6–9% [1,2].

В 15–25% случаев ОИМ с подъемом сегмента ST (ОИМпST) в острейшей стадии отмечается резолюция подъема сегмента ST на повторных электрокардиограммах (ЭКГ), а при проведении коронарографии (КГ) определяет-

ся кровоток по инфаркт-связанной артерии (ИСА) [3]. Данный феномен ассоциирован с меньшей частотой развития госпитальных осложнений, а также более благоприятным долгосрочным течением заболевания [4, 5]. Более того, у ряда пациентов с ОИМ без подъема сегмента ST (ОИМбпST) можно встретить окклюзию ИСА, а отсутствие подъема сегмента ST связано с развитой сетью коллатералей [6].

Выраженность интракоронарного тромбоза обусловлена реактивностью тромбоцитов, активностью плазменного гемостаза и эндогенного фибринолиза ( $\Theta\Phi$ ), а также

<sup>&</sup>lt;sup>2</sup> ГБУЗ «ГКБ им. И. В. Давыдовского Департамента здравоохранения г. Москвы», Москва, Россия



интенсивностью локальной воспалительной реакции. В регуляции этих процессов принимает активное участие эндотелий. Итоговое состояние кровотока по ИСА является результатом совокупности этих физиологических процессов.

#### Цель

Изучение связи между функциональным состоянием тромбоцитов и плазменного гемостаза и кровотоком в ИСА, а также течением заболевания у пациентов с ОИМ.

#### Материал и методы

В данном одноцентровом проспективном исследовании приняли участие 93 пациента. Включение пациентов проводилось на базе отделения кардиореанимации ГБУЗ «ГКБ им. И.В. Давыдовского ДЗМ» в период с сентября 2019 г. по апрель 2022 г. У 75 пациентов при поступлении имелся ОИМпST, у 18 – ОИМбпST. Диагноз ОИМ ставили в соответствии с Четвертым универсальным определением инфаркта миокарда [7]. Всем пациентам была проведена КГ с последующей реваскуляризацией ИСА. Исследование проведено в соответствии с принципами Хельсинкской декларации и получило одобрение локального этического комитета.

Критерии включения: ОИМпST или ОИМбпST; начало симптомов менее чем за 24 ч до госпитализации; подписанное информированное согласие на участие в исследовании. Критерии исключения: возраст старше 80 лет либо моложе 18 лет; начало симптомов более чем за 24 ч до госпитализации; тромболитическая терапия на догоспитальном этапе; кардиогенный шок при поступлении; острые или хронические инфекционные процессы; анемия тяжелой степени или продолжающееся кровотечение; онкологические заболевания; прием антикоагулянтов.

У всех пациентов до проведения КГ брали образцы крови для выполнения ротационной тромбоэластометрии, импедансной агрегометрии, исследования тромбодинамики. Кроме того, проводился тест эндотелийзависимой вазодилатации (ЭЗВД).

Кровоток по ИСА классифицировали с помощью шкалы ТІМІ Grade Flow [8]. По данным КГ, у 63 пациентов отмечался кровоток по ИСА ТІМІ 0–1, в то время как у 30 пациентов регистрировался кровоток ТІМІ 2–3. Дальнейшие сравнения проводили между этими двумя группами.

### Методика забора крови

Образцы крови для проведения стандартных лабораторных анализов и тестов брали до проведения КГ и введения нефракционированного гепарина путем венепункции иглой Vacuette 21G. Для экспериментов использовали пробирки S-Monovette («Sarstedt», Германия) с цитратом натрия 3,2% 1:9.

#### Ротационная тромбоэластометрия

Исследование проводили на приборе ROTEM по стандартной методике [9]. Для анализа использовали следующие параметры: время начала свертывания (СТ), формирования сгустка (clot formation time – СFТ) и начала лизиса сгустка (lysis onset time – LOT), размер тромба на различных временных участках эксперимента (А20, мм; А30, мм), максимальное формирование и лизис тромба (maximum clot firmness – МСF; maximum lysis – ML), а также процент оставшегося тромба спустя 30, 45 и 60 мин от начала лизиса (lysis index, Li 30, 45 и 60, соответственно).

### Импедансная агрегометрия

Исследование проводили на приборе Multiplate («Roche», Швейцария). Интенсивность агрегации тромбоцитов определяли с помощью измерения площади под кривой (Area under curve, AUC) и выражали в единицах агрегации в минуту. Оценивали агрегацию тромбоцитов, индуцированную арахидоновой кислотой (AUC Asa), АДФ (AUC ADP) и пептидом-6, активирующим рецептор тромбина (AUC TRAP-6).

#### Тромбодинамика

Исследование проводили по стандартной методике [10]. На основе полученных данных рассчитывали следующие по-казатели: задержка роста (Tlag), средняя и начальная скорость роста сгустка (clot growth rate – V; initial clot growth rate – Vi), размер сгустка спустя 30 мин после начала эксперимента (clot size, CS), плотность сгустка (Density – D), наличие спонтанного тромбообразования (spontaneous clot formation time – Tsp), а также лизиса сгустка: время начала и скорость прогрессирования лизиса (lysis onset time – LOT; lysis progression – LP, %/мин), время лизиса сгустка (clot lysis time – CLT).

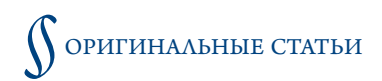
#### Тест ЭЗВД

Для оценки функции эндотелия всем пациентам проводили тест  $93B\Delta$  плечевой артерии по стандартной методике [11].

# Оценка клинических исходов

В качестве госпитальных осложнений ОИМ оценивали следующие исходы: смерть (в том числе клиническая); острая левожелудочковая недостаточность (ОЛЖН); тромбоз стента; крупные кровотечения (ВАКС 3–5), а также необходимость использования инфузии блокаторов рецепторов IIb/IIIa тромбоцитов, искусственной вентиляции легких (ИВЛ), механической поддержки кровообращения. Первичная конечная точка включала совокупность этих исходов.

В отдаленном периоде заболевания (медиана наблюдения 7 мес) проводили оценку следующих исходов: смерть, сердечно-сосудистая смерть, повторный ОИМ, поздний тромбоз стента, повторная экстренная реваскуляризация миокарда. Данные исходы являлись составляющими



вторичной конечной точки. Отдельно проводили оценку крупных (BARC 3-5) и малых (BARC 1-2) кровотечений.

# Статистическая обработка данных

Статистический анализ проводили с помощью R (4.0.5) и IBM SPSS Statistics (26.0). Полученные значения распределялись ненормально в соответствии с тестом Шапиро–Уилка. Для сравнения групп использовали ранговый критерий Манна–Уитни. Для анализа категориальных параметров исполь-

зовали двусторонний точный тест Фишера. Размер выборки исследования позволяет обнаружить различия средней силы (d=0,5) при уровне значимости 0,05 и мощности 0,8. Для прогноза состояния кровотока ИСА использовали логистическую регрессию, уровень значимости для предикторов p<0,05. Для представления зависимостей бинарной классификации была построена ROC-кривая и рассчитан показатель AUC. Отдаленный прогноз заболевания анализировали с помощью построения кривых Каплана—Майера.

Таблица 1. Клинико-демографические характеристики пациентов

Показатель	Пациенты с кровотоком по ИСА ТІМІ 0–1 (n=63)	Пациенты с кровотоком по ИСА ТІМІ 2–3 (n=30)	p
Возраст, годы Me [IQR]	60,5 [53,0; 65,2]	61,0 [51,0; 66,5]	0,7
Мужской пол, п (%)	47 (74,6)	25 (83,3)	0,43
Артериальная гипертензия, п (%)	54 (85,7)	26 (86,7)	0,99
Сахарный диабет, п (%)	10 (15,8)	5 (16,7)	0,98
	19 (30,1)	9 (30,0)	0,99
Курение, п (%)	24 (38,0)	12 (40,0)	0,98
ИМ, п (%)	3 (4,76)	4 (13,3)	0,2
ЧКВ, n (%)	6 (9,7)	2 (6,7)	0,99
Фибрилляция предсердий, n (%)	4 (6,34)	_	0,3
Острое нарушение мозгового кровообращения, п (%)	2 (3,2)	2 (6,6)	0,59
Амбулаторная терапия			
Ацетилсалициловая кислота, п (%)	10 (15,8)	3 (10,0)	0,54
Клопидогрел, п (%)	_	1 (3,4)	_
Тикагрелор, п (%)	1 (1,6)	_	-
Бета-адреноблокаторы, п (%)	12 (19,0)	4 (13,3)	0,57
Статины, п (%)	7 (11,1)	2 (6,7)	0,71
Ингибиторы ангиотензинпревращающего фермента, п (%)	11 (17,4)	9 (30,0)	0,19
Блокаторы рецепторов АТ-1, п (%)	9 (14,3)	4 (13,3)	0,99
Терапия на догоспитальном этапе (бригадой скорой медици	нской помощи)		
Ацетилсалициловая кислота, n (%)	59 (93,6)	28 (93,3)	0,99
Клопидогрел, п (%)	44 (69,8)	16 (53,3)	0,16
Тикагрелор, п (%)	2 (3,2)	3 (10,0)	0,32
Морфин, п (%)	14 (22,5)	5 (16,7)	0,59
Блокаторы рецепторов Р2Ү12 тромбоцитов в стационаре			
Клопидогрел, п (%)	5 (8,5)	2 (7,7)	0,99
Тикагрелор, п (%)	47 (79,7)	23 (88,5)	0,53
Прасугрел, п (%)	5 (8,47)	1 (3,84)	0,86
Клинические и процедурные особенности			
ОИМπST, n (%)	52 (82,5)	23 (76,7)	0,5
Время «боль-баллон», мин Ме [IQR]	225,0 [140,0; 430,0]	367,5 [151,2; 518,7]	0,87
Время «дверь-баллон», мин Med [IQR]	34,0 [30,0; 42,0]	36,0 [33,2; 40,0]	0,99
Ангинозные боли при поступлении, п (%)	49 (83,0)	18 (66,7)	0,1
Эхокардиография			
ФВ ЛЖ, Me [IQR]	52,0 [41,5; 57,0]	60,0 [53,0; 60,0]	<0,01
KДO ЛЖ, Me [IQR]	112,0 [100,0; 142,0]	120,0 [91,0; 137,5]	0,89
Лабораторные исследования			
Гемоглобин, г/л Me [IQR]	148,0 [138,0; 158,0]	152,0 [145,0; 160,0]	0,31
Тромбоциты, ·10 <sup>9</sup> /л Ме [IQR]	233,0 [206,0; 278,0]	223,0 [201,0; 298,0]	0,82
	10,3 [8,2; 12,2]	8,7 [7,5; 10,5]	0,04
Креатинин, мкмоль/л Me [IQR]	95,0 [83,0; 107,0]	92,5 [83,7; 104,5]	0,69
ME IOD ~ IICA 1	777.6	1 III/D	

ME – медиана; IQR – межквартильный интервал; HCA – инфаркт-связанная артерия; HCA – инфаркт миокарда; HCA – чрескожное коронарное вмешательство; HCA – фракция выброса; HCA – левый желудочек; HCA – конечный диастолический объем.



# Результаты

# Клинико-демографическая характеристика пациентов

Мы не обнаружили значимых различий в клинико-демографических характеристиках между группами пациентов (табл. 1).

# Данные лабораторно-инструментальных методов обследования

Пациенты с сохранным кровотоком по ИСА характеризовались большей фракцией выброса ( $\Phi$ B) левого желудочка ( $\Lambda$ Ж), меньшим содержанием лейкоцитов (см. табл. 1).

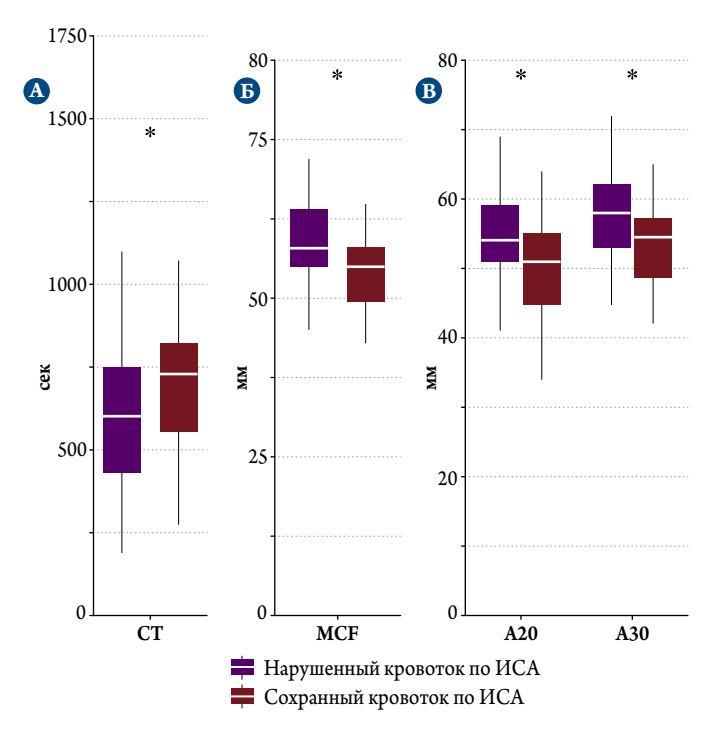
# Тромбодинамика

По данным тромбодинамики, не обнаружено статистически значимых различий в параметрах тромбообразования между группами пациентов.

#### Ротационная тромбоэластометрия

Пациенты с кровотоком ТІМІ 0–1 по ИСА характеризовались более коротким началом времени свертывания крови (СТ, с – 602,0 [431,0; 745,0] vs 728,0 [556,5; 821,5], p=0,04), большим размером тромба (A20, мм – 54,0 [51,0; 59,0] vs 51,0 [44,7; 55,0], p=0,029; A30, мм – 58,0 [53,0;

**Рисунок 1.** Сравнение параметров ротационной тромбоэластометрии между группами пациентов с нарушенным (TIMI 0–1) и сохранным (TIMI 2–3) кровотоком по ИСА



А – время начала свертывания (СТ, с); Б – плотность сгустка (МСР, мм); В – размер тромба на 20-й и 30-й минутах исследования (А20, мм; А30, мм); \* – p<0,05. ОИМ – острый инфаркт миокарда; ИСА – инфаркт-связанная артерия.

62,0] vs 54,5 [48,7; 57,2], p=0,01) и его бо́льшей плотностью (МСF, мм – 58,0 [55,0; 64,0] vs 55,0 [49,7; 58,0], p=0,034). Кроме того, наблюдался тренд в сторону меньшего максимального лизиса сгустка у пациентов данной группы (МL, % – 21,0 [18,0; 25,0] vs 24,5 [20,0; 28,0], p=0,055) (рис. 1).

#### Импедансная агрегометрия

Пациенты с кровотоком ТІМІ 0-1 по ИСА характеризовались более интенсивной агрегацией тромбоцитов, индуцированной арахидоновой кислотой (AUC Asa  $26,0\ [15,5;43,5]\ vs\ 16,0\ [9,5;20,5],\ p<0,01)$  и АДФ (AUC ADP  $43,0\ [36,0;56,0]\ vs\ 35,0\ [25,7;42,2],\ p<0,01;\ рис. 2). Мы не обнаружили различий в значениях агрегации тромбоцитов, индуцированной TRAP-6.$ 

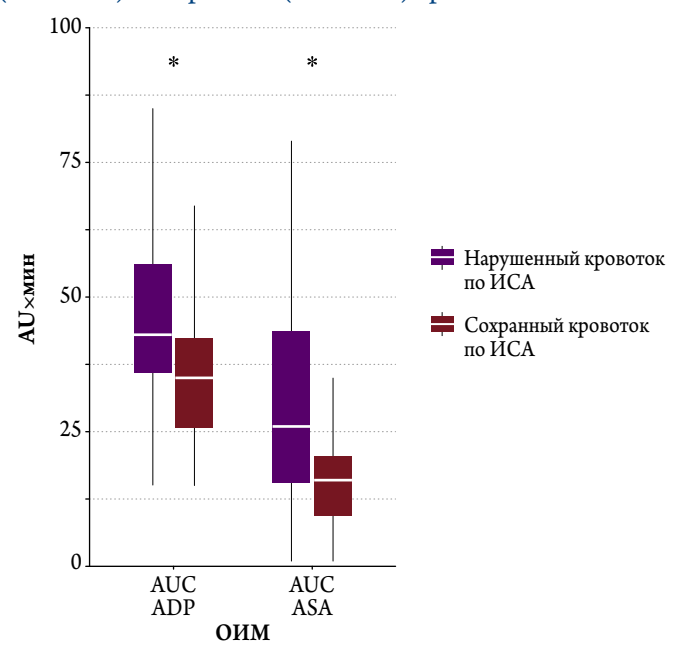
#### Тест ЭЗВД

Пациенты с кровотоком ТІМІ 2–3 по ИСА характеризовались бо́льшими значениями теста ЭЗВД (ЭЗВД, % 4.0 [1,35;5,8] vs 6.0 [4,34;9,5], p=0,011).

#### Предикторы кровотока по ИСА

С помощью логистической регрессии проанализирована и выявлена статистически значимая взаимосвязь показателей СТ и AUC Asa с кровотоком по ИСА. Использование данных параметров обусловлено также быстротой получения результатов эксперимента.

**Рисунок 2.** Сравнение параметров импедансной агрегометрии между группами пациентов с нарушенным (TIMI 0–1) и сохранным (TIMI 2–3) кровотоком по ИСА



AU×мин – единицы агрегации тромбоцитов в минуту (aggregation units per minute); OUM – острый инфаркт миокарда; UCA – инфаркт-связанная артерия; AUC ADP –  $A\Delta\Phi$ -индуцированная агрегация тромбоцитов; AUC Asa – агрегация тромбоцитов, индуцированная арахидоновой кислотой; \* – p<0,05.

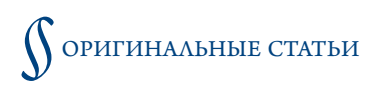


Таблица 2. Госпитальные осложнения ОИМ, п (%)

Показатель	Пациенты с кровотоком по ИСА ТІМІ 0-1 (n=63)	Пациенты с кровотоком по ИСА ТІМІ 2–3 (n=30)	p
Клиническая смерть, n (%)	3 (5,0)	2 (6,6)	0,99
Смерть, п (%)	0	0	_
ОЛЖН, п (%)	11 (18,3)	2 (6,7)	0,2
Инфузия блокаторов IIb/IIIa тромбоцитов, n (%)	11 (18,3)	2 (6,6)	0,2
ИВЛ, n (%)	3 (5,0)	0	
Механическая поддержка кровообращения, n (%)	2 (3,3)	_	_
Тромбоз стента, п (%)	2 (3,17)	1 (3,3)	0,96
AB-блокада, n (%)	2 (3,4)	1 (3,3)	0,99
Крупные кровотечения, п (%)	0	0	_
Первичная конечная точка, n (%)	26 (41,3)	5 (16,7)	0,015

ОИМ – острый инфаркт миокарда; О $\Lambda$ ЖН – острая левожелудочковая недостаточность; ИВ $\Lambda$  – искусственная вентиляция легких; АВ – атриовентрикулярная; ИСА – инфаркт-связанная артерия.

Обнаружено, что сочетанное использование этих двух параметров позволяет отличать пациентов с кровотоком ТІМІ 0–1 по ИСА с площадью под ROC-кривой 80% (чувствительность 76%, специфичность 71%; рис. 3). Добавление к указанным параметрам динамики сегмента ST не повышало их прогностическую точность.

# Госпитальные осложнения ОИМ и долгосрочное течение заболевания

Пациенты с кровотоком ТІМІ 0-1 по ИСА характеризовались более частым наступлением первичной конечной точки: 26 (41,3%) vs 5 (16,7%), p=0,015 (табл. 2).

Итоговому анализу течения заболевания в отдаленном периоде были доступны 55 пациентов. Мы не обнаружили значимых различий по частоте наступления вторичной конечной точки среди групп пациентов (табл. 3, рис. 4A). Среди пациентов с кровотоком ТІМІ 2–3 по ИСА отмечалась значимо большая частота малых кровотечений (BARC 1–2) (8,5% vs 30,4%; p=0,045; см. табл. 3, рис. 4Б).

#### Обсуждение

Известно, что пациенты со спонтанной реперфузией ИСА характеризуются более благоприятным прогнозом заболевания [12, 13]. В данной работе мы еще раз подтвердили, что пациенты с кровотоком ТІМІ 2–3 по ИСА, как с подъемом, так и без подъема сегмента ST реже сталкиваются с госпитальными осложнениями ОИМ.

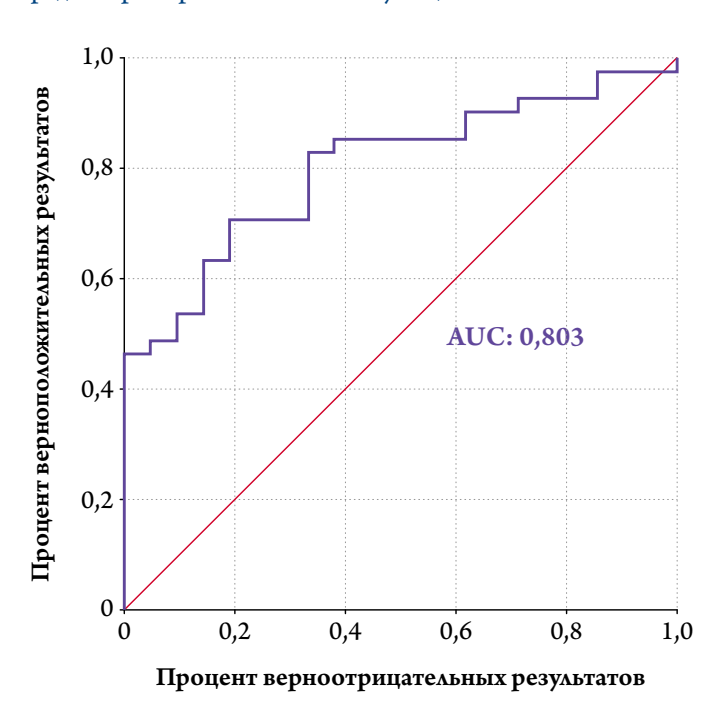
Существуют предрасполагающие факторы для сохранного кровотока в ИСА [14–16]. Ранее описана связь между тромбообразованием, эндогенным фибринолизом и кровотоком в ИСА [17–20]. В ряде исследований продемонстрировано влияние воспалительного фона на со-

**Таблица 3.** Отдаленное течение заболевания у пациентов с ОИМ, n (%)

Исход	Пациенты с кровотоком по ИСА ТІМІ 0-1 (n=34)	Пациенты с кровотоком по ИСА ТІМІ 2-3 (n=21)	p
Смерть, п (%)	1 (2,9)	0	_
Смерть от сердечно- сосудистых причин, n (%)	0	0	_
Повторный ОИМ, п (%)	0	1 (4,8)	_
Повторная экстренная реваскуляризация, n (%)	4 (11,7)	1 (4,8)	0,36
Тромбоз стента, п (%)	2 (5,9)	0	_
Крупные кровотечения (BARC 3-5), n (%)	0	0	_
Малые кровотечения (BARC 1–2), n (%)	3 (8,5)	7 (30,4)	0,045

ОИМ – острый инфаркт миокарда; ИСА – инфаркт-связанная артерия.

**Рисунок 3.** Сочетание параметров AUC Asa и CT в качестве предикторов кровотока по ИСА у пациентов с ОИМ

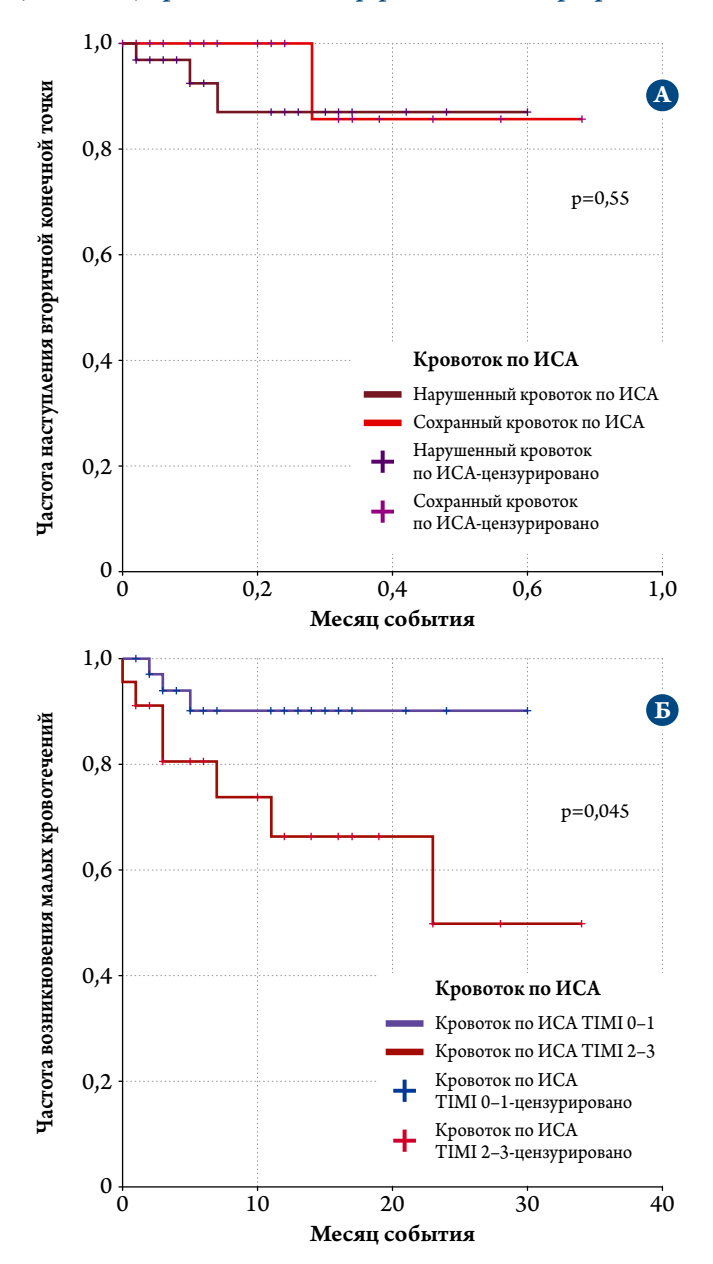


ОИМ – острый инфаркт миокарда; ИСА – инфаркт-связанная артерия; AUC Asa – агрегация тромбоцитов, индуцированная арахидоновой кислотой; СТ – время начала свертывания.

стояние ИСА [21, 22]. Согласно нашим результатам, пациенты с кровотоком ТІМІ 0–1 по ИСА характеризуются более интенсивным тромбообразованием за счет как большей агрегации тромбоцитов, так и плазменного гемостаза. Примечательно, что терапия на амбулаторном и догоспитальном этапе не влияла на изучаемые параметры и течение заболевания. Следует отметить, что, несмотря на полученные нагрузочные дозировки антиагрегантов, небольшое число пациентов характеризовались по-



Рисунок 4. Кривые Каплана—Майера: частота наступления вторичной конечной точки (A) и частота возникновения малых кровотечений ( $\mathbf{F}$ ) в группах пациентов с нарушенным (TIMI 0–1) и сохранным (TIMI 2–3) кровотоком по инфаркт-связанной артерии



вышенной реактивностью тромбоцитов, что может быть особенностью функционирования гемостаза у пациентов данной группы. Помимо этого, среди пациентов с кровотоком TIMI 2-3 по ИСА отмечался тренд в сторону более активного эндогенного фибринолиза. В данном исследовании мы также продемонстрировали большие значения теста 93BA у пациентов с кровотоком TIMI 2-3 по ИСА.

Нами впервые показано, что использование сочетания двух простых методов оценки гемостаза позволяет судить о степени нарушения кровотока по ИСА. Следует отметить, что данные параметры оценивают степень нарушения кровотока по ИСА без учета динамики сегмента ST на ЭКГ. Полученные результаты позволяют выделить пациентов,

у которых с высокой долей вероятности имеется окклюзия ИСА. Это может иметь значение для скорости реваскуляризации миокарда у пациентов с ОИМбпST, так как, согласно современным рекомендациям, она может быть отложена вплоть до 24 ч от момента поступления в стационар [23].

При анализе отдаленного течения заболевания отмечалось более частое развитие малых кровотечений у пациентов с кровотоком ТІМІ 2–3 по ИСА в острейшей фазе заболевания. Эти пациенты характеризуются менее интенсивным тромбообразованием, что на фоне двухкомпонентной антитромбоцитарной терапии делает их более склонными к геморрагическим осложнениям. По всей видимости, пациенты данной группы нуждаются в более тщательном контроле из-за возможных геморрагических осложнений, а возможно, и в деэскалации антиагрегантной терапии, безопасность которой продемонстрирована в исследовании TROPICAL-ACS [24].

# Ограничения исследования

Основным ограничением исследования являются малый размер выборки и низкая частота наступления различных госпитальных и отдаленных осложнений ОИМ, позволяющая анализировать их только в составе комбинированной точки. Сравнительно низкая частота развития отдаленных осложнений ОИМ и крупных кровотечений обусловлена дизайном исследования, в которое не включались пациенты из группы очень высокого риска (кардиогенный шок, механические осложнения ОИМ).

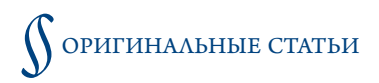
# Заключение

Пациенты с острым инфарктом миокарда и кровотоком ТІМІ 0–1 по инфаркт-связанной артерии характеризуются снижением функционального состояния эндотелия, более интенсивными процессами тромбообразования и агрегации тромбоцитов по сравнению с пациентами с сохранным кровотоком. Впервые показано, что сочетанное использование двух простых критериев оценки гемостаза (AUC Asa; СТ) позволяет судить о степени нарушения кровотока в инфаркт-связанной артерии у больных с острым инфарктом миокарда. Полученные данные могут служить основой для дальнейших рандомизированных исследований в целях выработки оптимальной тактики ведения пациентов с острым инфарктом миокарда в зависимости от коронарного кровотока.

# Финансирование

Настоящее исследование выполнено при финансовой поддержке гранта ФГБОУ ВО «МГМСУ им. А. И. Евдокимова» Минздрава России, соглашение № КНП-06/21. Подготовка к публикации при поддержке компании Сервье.

Статья поступила 03.05.2022



#### СПИСОК ЛИТЕРАТУРЫ

- Alabas OA, Jernberg T, Pujades-Rodriguez M, Rutherford MJ, West RM, Hall M et al. Statistics on mortality following acute myocardial infarction in 842 897 Europeans. Cardiovascular Research. 2020;116(1):149–57. DOI: 10.1093/cvr/cvz197
- Widimsky P, Crea F, Binder RK, Lüscher TF. The year in cardiology 2018: acute coronary syndromes. European Heart Journal. 2019;40(3):271–82. DOI: 10.1093/eurheartj/ehy904
- 3. Fefer P, Beigel R, Atar S, Aronson D, Pollak A, Zahger D et al. Outcomes of Patients Presenting With Clinical Indices of Spontaneous Reperfusion in ST-Elevation Acute Coronary Syndrome Undergoing Deferred Angiography. Journal of the American Heart Association. 2017;6(7):e004S52. DOI: 10.1161/JAHA.116.004S52
- Stone GW, Cox D, Garcia E, Brodie BR, Morice M-C, Griffin J et al. Normal Flow (TIMI-3) Before Mechanical Reperfusion Therapy Is an Independent Determinant of Survival in Acute Myocardial Infarction: Analysis From the Primary Angioplasty in Myocardial Infarction Trials. Circulation. 2001;104(6):636–41. DOI: 10.1161/ hc3101.093701
- 5. Urazovskaya I.L., Skrypnik D.V., Vasilieva E.Yu., Shpektor A.V. Influence of the state of the endothelium on the possibility of spontaneous thrombolysis in patients with ST-elevation myocardial infarction. Creative Cardiology. 2008;1:36–8. [Russian: Уразовская И.Л., Скрыпник Д.В., Васильева Е.Ю., Шпектор А.В. Влияние состояния эндотелия на возможность спонтанного тромболизиса у больных с острым инфарктом миокарда с подъемом сегмента ST. Креативная кардиология. 2008;1:36-8]
- Hwang H, Park C, Cho J, Jin E, Sohn I, Kim D et al. Clinical characteristics of occluded culprit arteries and collaterals in patients with non-ST-segment elevation myocardial infarction and impact on clinical outcomes. Experimental and Therapeutic Medicine. 2018;16:3710–20. DOI: 10.3892/etm.2018.6605
- Thygesen K, Alpert JS, Jaffe AS, Chaitman BR, Bax JJ, Morrow DA et al. Fourth Universal Definition of Myocardial Infarction (2018). Circulation. 2018;138(20):e618–51. DOI: 10.1161/CIR.0000000000000617
- 8. Appleby MA, Michaels AD, Chen M, Michael CG. Importance of the TIMI frame count: Implications for future trials. Current Controlled Trials in Cardiovascular Medicine. 2000;1(1):31–4. DOI: 10.1186/CVM-1-1-031
- Korpallová B, Samoš M, Bolek T, Škorňová I, Kovář F, Kubisz P et al. Role of Thromboelastography and Rotational Thromboelastometry in the Management of Cardiovascular Diseases. Clinical and Applied Thrombosis/Hemostasis. 2018;24(8):1199–207. DOI: 10.1177/1076029618790092
- Balandina AN, Serebriyskiy II, Poletaev AV, Polokhov DM, Gracheva MA, Koltsova EM et al. Thrombodynamics A new global hemostasis assay for heparin monitoring in patients under the anticoagulant treatment. PLOS ONE. 2018;13(6):e0199900. DOI: 10.1371/journal.pone.0199900
- Alley H, Owens CD, Gasper WJ, Grenon SM. Ultrasound Assessment of Endothelial-Dependent Flow-Mediated Vasodilation of the Brachial Artery in Clinical Research. Journal of Visualized Experiments. 2014;92:e52070. DOI: 10.3791/52070
- Lemkes JS, Janssens GN, van Royen N. ST-resolution and spontaneous reperfusion in patients with transient ST-segment elevation myocardial infarction. European Heart Journal. 2019;40(29):2465–2465. DOI: 10.1093/eurheartj/ehz333
- Fefer P, Hod H, Hammerman H, Boyko V, Behar S, Matetzky S. Relation of Clinically Defined Spontaneous Reperfusion to Outcome in ST-Elevation Myocardial Infarction. The American Journal of Cardiology. 2009;103(2):149–53. DOI: 10.1016/j.amjcard.2008.08.050

- Abani O, Abbas A, Abbas F, Abbas M, Abbasi S, Abbass H et al. Tocilizumab in patients admitted to hospital with COVID-19 (RECO-VERY): a randomised, controlled, open-label, platform trial. The Lancet. 2021;397(10285):1637–45. DOI: 10.1016/S0140-6736(21)00676-0
- Kim JW, Seo HS, Suh SY, Choi CU, Kim EJ, Rha S-W et al. Relationship Between Lipoprotein(a) and Spontaneous Recanalization of Infarct-related Arteries in the Early Phase of Acute Myocardial Infarction. Clinical Cardiology. 2008;31(5):211–6. DOI: 10.1002/clc.20143
- 16. Li J, Zhou Y, Zhang Y, Zheng J. Admission homocysteine is an independent predictor of spontaneous reperfusion and early infarct-related artery patency before primary percutaneous coronary intervention in ST-segment elevation myocardial infarction. BMC Cardiovascular Disorders. 2018;18(1):125. DOI: 10.1186/s12872-018-0868-3
- 17. Kalinskaya A.I., Savvinova P.P., Vasilieva E.Yu., Shpektor A.V. The specifics of clotting and endogenic fibrinolysis in acute coronary syndrome patients. Russian Journal of Cardiology. 2018;23(9):12–6. [Russian: Калинская А.И., Саввинова П.П., Васильева Е.Ю., Шпектор А.В. Особенности тромбообразования и эндогенного фибринолиза у пациентов с острым коронарным синдромом. Российский кардиологический журнал. 2018;23(9):12-6]. DOI: 10.15829/1560-4071-2018-9-12-16
- Savvinova P.P., Kalinskaya A.I., Manchurov V.N., Anisimov K.V., Vailieva E.Yu., Shpektor A.V. Coronary angiogram and laboratory parameters of blood clot formation and lysis correlation in patients with acute coronary syndrome. Russian Journal of Endovascular Surgery. 2019;6(3):207–13. [Russian: Саввинова П.П., Калинская А.И., Манчуров В.Н., Анисимов К.В., Васильева Е.Ю., Шпектор А.В. Взаимосвязь данных коронарографии и лабораторных параметров образования и лизиса тромба у больных с острым коронарным синдромом. Эндоваскулярная хирургия. 2019;6(3):207-13]. DOI: 10.24183/2409-4080-2019-6-3-207-213
- Sumaya W, Wallentin L, James SK, Siegbahn A, Gabrysch K, Bertilsson M et al. Fibrin clot properties independently predict adverse clinical outcome following acute coronary syndrome: a PLATO substudy. European Heart Journal. 2018;39(13):1078–85. DOI: 10.1093/eurheartj/ehy013
- Małek ŁA, Kłopotowski M, Śpiewak M, Waś J, Kunicki PK, Rużyłło W et al. Patency of infarct-related artery and platelet reactivity in patients with ST-segment elevation myocardial infarction. Cor et Vasa. 2013;55(2):e126–30. DOI: 10.1016/j.crvasa.2012.12.005
- Börekçi A, Gür M, Türkoğlu C, Selek Ş, Baykan AO, Şeker T et al. Oxidative Stress and Spontaneous Reperfusion of Infarct-Related Artery in Patients With ST-Segment Elevation Myocardial Infarction. Clinical and Applied Thrombosis/Hemostasis. 2016;22(2):171–7. DOI: 10.1177/1076029614546329
- Kalinskaya A, Dukhin O, Lebedeva A, Maryukhnich E, Rusakovich G, Vorobyeva D et al. Circulating Cytokines in Myocardial Infarction Are Associated With Coronary Blood Flow. Frontiers in Immunology. 2022;13:837642. DOI: 10.3389/fimmu.2022.837642
- 23. Collet J-P, Thiele H, Barbato E, Barthélémy O, Bauersachs J, Bhatt DL et al. 2020 ESC Guidelines for the management of acute coronary syndromes in patients presenting without persistent ST-segment elevation. European Heart Journal. 2020;32(23):2999–3054. DOI: 10.1093/eurheartj/ehaa575
- Sibbing D, Aradi D, Jacobshagen C, Gross L, Trenk D, Geisler T et al. Guided de-escalation of antiplatelet treatment in patients with acute coronary syndrome undergoing percutaneous coronary intervention (TROPICAL-ACS): a randomised, open-label, multicentre trial. The Lancet. 2017;390(10104):1747–57. DOI: 10.1016/S0140-6736(17)32155-4